

1 – 2 日本周辺における浅部超低周波地震活動（2025 年 5 月～10 月） Activity of Shallow Very-low-frequency Earthquakes in and around Japan (May – October, 2025)

防災科学技術研究所
National Research Institute for Earth Science and Disaster Resilience

日本周辺で発生する浅部超低周波地震の活動を防災科研 Hi-net に併設された高感度加速度計（傾斜計）の記録のアレイ解析¹⁾によって調べた。2003 年 6 月 1 日から 2025 年 10 月 31 日までの期間におけるイベントの空間分布を第 1 図に、時空間分布図を第 2 図にそれぞれ示す。Hi-net の震源カタログにはないイベントを 図中に赤色および桃色丸印でそれぞれ示す。これらの地震の多くは浅部超低周波地震とみられるが、特に 2011 年 3 月 11 日に発生した平成 23 年（2011 年）東北地方太平洋沖地震の発生以降は、通常の地震と考えられるイベントも混在する。

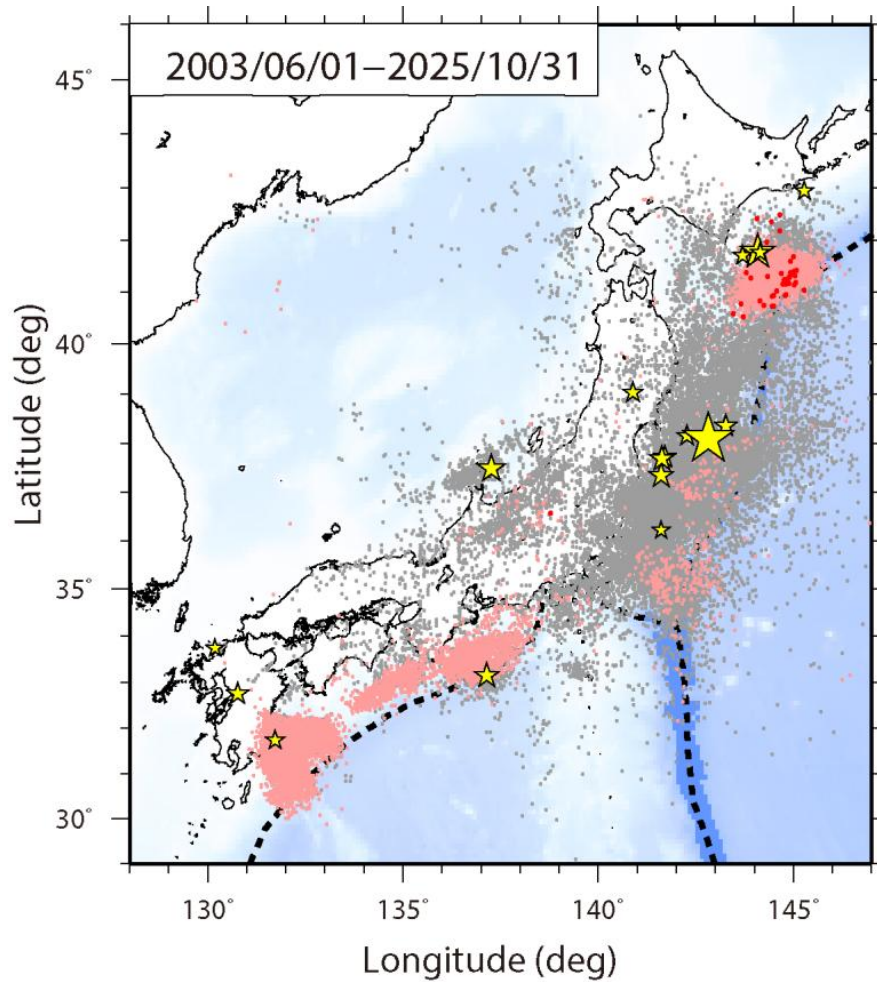
2025 年 5 月 1 日から 10 月 31 日までの 6 ヶ月間においては、7、8、10 月に掲載基準を満たすイベントが十勝沖に検出されたものの、7 月 30 日（日本時間）にカムチャッカ半島付近で発生した地震とその余震の後続波が誤検出されたものとみられる。これらは千島海溝–日本海溝会合部付近を二次波源として円筒波的に伝搬することから、時空間的な伝搬特性のみからは超低周波地震との識別が困難である。

一方、5、6 月には掲載基準に達しない超低周波地震が日向灘で検出された。これらの活動を詳細に調べるため、観測点カバリッジも十分な防災科研 F-net の記録を用いた波形相関解析²⁾も行った。この解析では、既知の地震・超低周波地震と類似したイベントを連続波形の中から波形相関によって検出する。解析期間は 2021 年 1 月 1 日から 2025 年 7 月 2 日までとした。この波形相関解析によるイベントの空間分布を第 3 図に、時空間分布図を第 4 図にそれぞれ示す。それらによると、5 月上旬、中旬に種子島の南東で断続的に発生した超低周波地震活動は、数日の休止の後に種子島の東で活発化するとともに北東方向に移動・拡大した。この一連の活動は 6 月上旬には活動は収束した。

（浅野 陽一）
ASANO Youichi

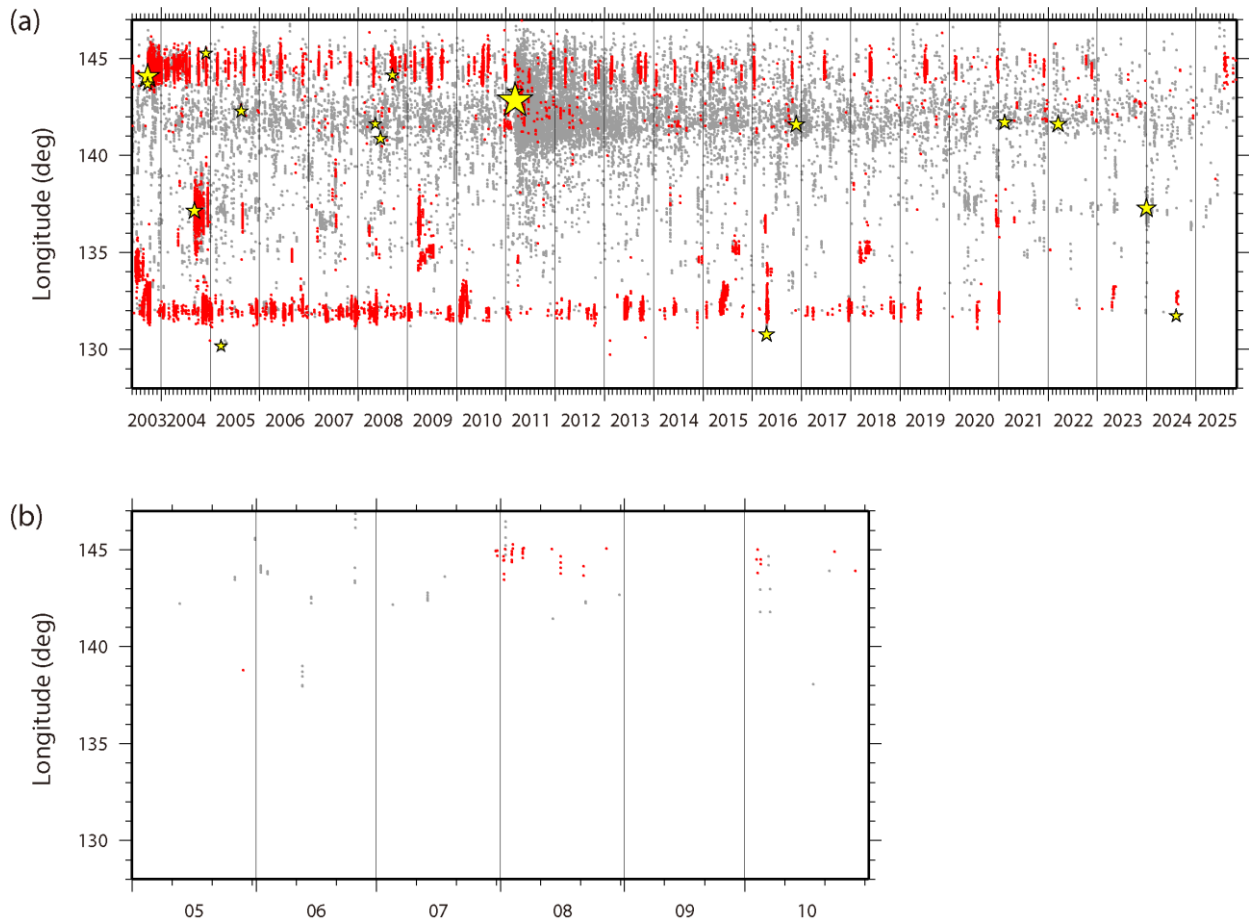
参考文献

- 1) Asano et al. (2008), *Earth Planets Space*, **60**, 871-875.
- 2) Asano et al. (2015), *Geophys. Res. Lett.*, **42**, doi:10.1002/2014GL062165.



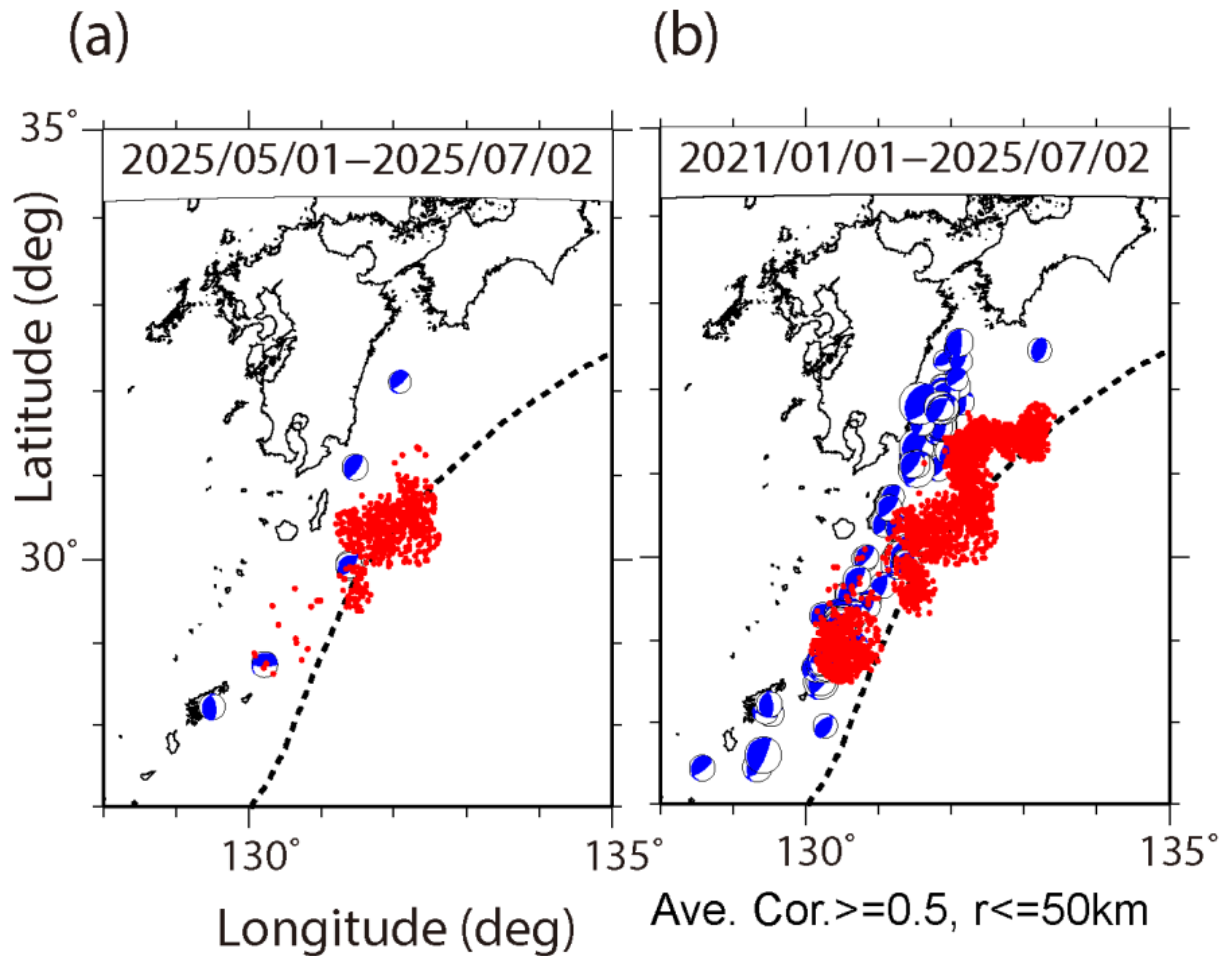
第 1 図 検出されたイベントの震央分布 (2003 年 6 月 1 日から 2025 年 10 月 31 日)。検出イベントを防災科研 Hi-net の手動または自動検測震源と照合し、対応する地震が見出されたイベントを灰色で、それ以外を桃色 (2025 年 4 月 30 日以前)、および赤色 (5 月 1 日以降) の点でそれぞれ示す。これらは主として周期 10 秒以上に卓越する超低周波地震を表すが、除去しきれない通常の地震等も含む。期間内に発生した M 7 以上の地震の震央を黄色星印で併せて示す (ただし、2011 年 3 月 11 日から 2015 年までの東日本は東北地方太平洋沖地震の本震のみ図示)。

Fig. 1 Spatial distribution of detected events. Gray dots denote events identified with regular earthquakes listed in the NIED Hi-net catalogue. Pink and red dots denote other events in the periods of June 1, 2003 – April 30, 2025 and May 1 – October 31, 2025, respectively. These events are mainly very-low frequency earthquakes (VLFs); however, this also contains miss-identified events associated with unlisted regular local earthquakes and scattering points of teleseismic waves. Earthquakes with larger magnitudes than 7.0 are shown by yellow stars.



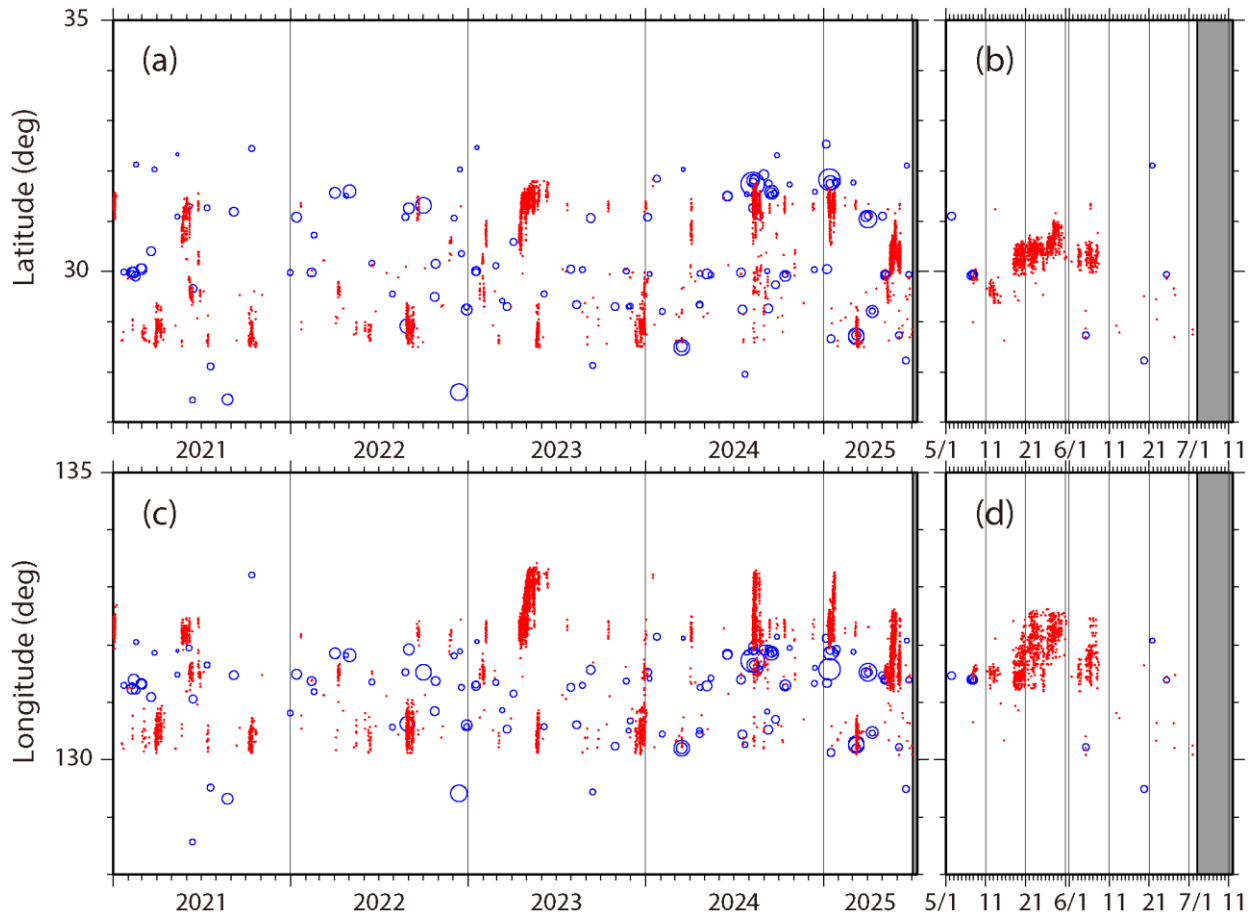
第 2 図 (a) 2003 年 6 月 1 日から 2025 年 10 月 31 日までの期間, (b) 2025 年 5 月 1 日から 10 月 31 日までの期間に検出されたイベントの時空間分布. 検出されたイベントを防災科研 Hi-net 手動または自動検測震源と照合し, 対応する地震が見出されたイベントを灰色丸印で, それ以外を赤色丸印で示す.

Fig. 2 Spatiotemporal distribution of detected events in the period of (a) June 1, 2003 – October 30, 2025 and (b) May 1 – October 31, 2025, respectively. Gray and red dots denote events identified with regular earthquakes and other events that are mainly VLFs. Other symbols are the same as shown in Fig. 1.



第 3 図 (a) 2025 年 5 月 1 日から 7 月 2 日までの期間, (b) 2021 年 1 月 1 日から 2025 年 7 月 2 日までの期間内に波形相関解析によって検出された超低周波イベントの震央分布。検出イベントから防災科研 Hi-net の手動または自動検測震源と照合された通常の地震を除去した超低周波イベントを赤色の点でそれぞれ示す。同地域、同期間内における防災科研 F-net の MT 解のうち、プレート間地震タイプとみられるイベントの解を青色で重ねて示す。

Fig. 3 Spatial distribution of VLFs detected by using the waveform correlation technique. Located events are plotted by red dots, which denote VLFs in the period of (a) May 1 – July 2, 2025 and (b) January 1, 2021 – July 2, 2025, respectively. F-net MT solutions of thrust-type regular earthquakes are also plotted. Bold dashed line denotes the Nankai trough and the Ryukyu trench.



第 4 図 第 3 図と同じ期間内に検出された超低周波イベントの時空間分布。超低周波イベントを赤色の点で示す。(a) および (b) に緯度分布の、(c) および (d) に経度分布の時間変化をそれぞれ示す。また、(a) および (c) に 2021 年 1 月 1 日以降、(b) および (d) には 2025 年 1 月 1 日以降の分布をそれぞれ示す。第 3 図に防災科研 F-net MT 解を示した地震を青丸印で併せて示す。

Fig. 4 Spatiotemporal distribution of VLFs shown in Fig. 3 for the periods of (a)(c) January 1, 2021 – July 2, 2025 and (b) (d) May 1 – July 2, 2025. (a)(b) and (c)(d) show spatiotemporal distribution in latitude and longitude, respectively. Regular thrust earthquakes shown in Fig. 3 are also plotted by blue circles.